

# Energia e Sustentabilidade

23 a 26 de novembro de 2004 - Campina Grande - PB

## DETERMINAÇÃO DA ÁREA FOLIAR DA MAMONEIRA

Liv Soares Severino¹, Leandro Silva do Vale² Gleibson Dionízio Cardoso¹, Napoleão Esberard de Macedo Beltrão¹,. José Wellington dos Santos¹ (1): Embrapa Algodão, Rua Osvaldo Cruz, 1143, Centenário, 58107-720, Campina Grande, PB. e-mail: liv@cnpa.embrapa.br; gleibson@cnpa.embrapa.br; nbeltrao@cnpa.embrapa.br; jwsantos@cnpa.embrapa.br; (2) Aluno de graduação em Agronomia pela Universidade Federal Rural de Pernambuco, estagiário da Embrapa Algodão.

#### **RESUMO**

A medição da área foliar da mamoneira é dificultada pela falta de metodologia simplificada e pela grande variação de formatos da folha dessa planta. Neste estudo objetivou-se desenvolver um método simplificado para cálculo da área foliar da mamoneira a partir de medidas lineares de fácil obtenção. Foram analisadas 500 folhas, incluindo-se o máximo de variabilidade quanto a tamanho, idade e genótipos da planta. As folhas foram fotografadas por câmera digital e processadas no *software* ImageTool® para obtenção da área e das medidas lineares. Avaliaram-se quarenta modelos teóricos, escolhendo-se aqueles que resultaram em valores próximos à área foliar real e que se mostraram apropriados para folhas de vários tamanhos e de diferentes genótipos. A equação mais confiável foi a que utiliza os valores do comprimento da nervura principal e da nervura lateral: {área = 0,2439 x (nervura principal + média das nervuras laterais)<sup>2,0598</sup>}

### INTRODUÇÃO

Na experimentação agrícola, a medição da área foliar permite ao pesquisador obter indicativo de resposta de tratamentos aplicados e lidar com uma variável que se relaciona diretamente com a capacidade fotossintética e de interceptação da luz, interfere na cobertura do solo, na competição com outras plantas e em várias outras características.

Há diversas maneiras de se medir a área foliar das plantas, porém muitos métodos são inadequados por serem destrutivos e por depender de aparelhos que só estão disponíveis em laboratórios ou, ainda, por demandarem excessiva mão-de-obra para execução.

Para tornar mais fácil a obtenção da área foliar, geralmente são desenvolvidas relações matemáticas entre algumas dimensões das folhas e a área foliar total, de forma que a medida desejada possa ser obtida de maneira simples e sem dependência de aparelhos. Essas relações matemáticas já foram estudadas em diversas culturas (ASHLEY et al., 1963; OGA et al., 1994; SILVA et al., 1998; SILVA et al., 2002).

Nas folhas da mamoneira, a determinação de relações matemáticas entre a área e as medidas lineares é difícil devido à grande variação na forma dessas estruturas, pois ocorrem folhas com variado número de lóbulos e esses lóbulos variam quanto à largura entre diferentes genótipos ou até



# Energia e Sustentabilidade

23 a 26 de novembro de 2004 - Campina Grande - PB

numa mesma planta. A aquisição de medidas lineares nessas folhas também se complica pela dificuldade de definir pontos referenciais claros que indiquem, por exemplo, onde medir o comprimento ou a largura, já que o formato irregular pode fazer com que essas medidas sejam ora superestimadas e ora subestimadas.

Objetivou-se no presente estudo, desenvolver equações matemáticas que relacionem a área foliar com medidas lineares de fácil obtenção e de localização objetiva e segura, sendo as equações pouco complexas, válidas para folhas de qualquer tamanho e de qualquer genótipo.

#### **MATERIAL E MÉTODOS**

Procurou-se trabalhar com o máximo de variabilidade possível. Para isso, analisaram-se 500 folhas provenientes de plantios experimentais das cultivares BRS 149 Nordestina e BRS 188 Paraguaçu, de uma variedade anã em processo de melhoramento genético pertencente ao banco de germoplasma de mamona da Embrapa Algodão e de mamoneiras asselvajadas encontradas em terrenos baldios na cidade de Campina Grande. Foram amostradas plantas de diferentes idades (desde uma semana até mais de um ano) e com grande intervalo entre a maior e a menor área foliar.

Cada folha foi fotografada em câmera digital, colocando-se um fundo branco para aumentar o contraste, inserindo-se também uma linha de referência de comprimento conhecido. As fotos foram transformadas para tons de cinza (8 bits) e então submetidas ao programa computacional ImageTool® (software de distribuição gratuita desenvolvido pela Texas Health Science Center) no qual se calibrou uma medida espacial utilizando-se a linha de referência presente em todas as fotos e se determinou o objeto a ser mensurado. Nesse programa computacional foram medidas a área da folha e tomadas as medidas lineares de: comprimento, largura, nervura principal, nervuras diagonais e nervuras laterais, conforme descrito na Figura 1.

Foram idealizados 40 modelos matemáticos teóricos considerando-se comportamentos lineares, quadráticos e de potência em que as variáveis independentes foram consideradas isoladamente ou em combinação dupla ou tripla. Para cada modelo determinaram-se os coeficientes que melhor ajustaram a curva com os dados da área foliar, assim como o coeficiente de determinação (R²) de cada equação. Os cálculos foram feitos no programa Microsoft Excel® nos modelos que possuem um único coeficiente e no programa Statistica® nos modelos que possuem dois coeficientes.

As equações que obtiveram coeficiente de determinação (R²) inferior a 0,95 foram descartadas e as demais foram aplicadas aos dados divididos em classes de tamanho, objetivando-se encontrar equações apropriadas para folhas de qualquer tamanho. As três classes quanto ao tamanho foram: folhas pequenas (área < 300cm²), folhas médias (área entre 300cm² e 1.000cm²) e folhas

# Energia e Sustentabilidade

23 a 26 de novembro de 2004 - Campina Grande - PB

grandes (área > 1.000 cm²). Cada equação foi então avaliada com relação às sete classes a que foram submetidas com base nos três indicadores que se seguem:

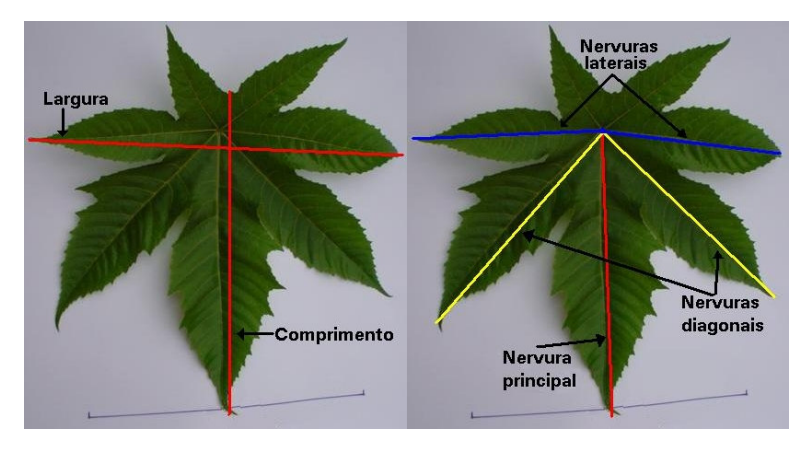
- a) coeficiente de correlação entre área real e área calculada;
- b) diferença percentual entre a média dos valores calculados e a média dos valores reais;
- c) Coeficiente de variação entre o valor real e o calculado (desvio padrão ÷ média)

Foram consideradas adequadas as equações que obtiveram coeficiente de correlação superior a 0,900, diferença percentual entre -5,0 e 5,0% e coeficiente de variação menor que 5,0%. A escolha das equações foi então complementada por critérios, como: facilidade de obtenção das medidas, facilidade de cálculo e número de medidas necessárias.

#### **RESULTADOS E DISCUSSÃO**

Na Tabela 1 estão apresentados os modelos matemáticos utilizados e seus coeficientes. Nenhuma das equações se mostrou apropriada para todas as classes segundo os critérios estabelecidos, devido à grande diferença entre o formato de folhas grandes e pequenas. As equações adequadas para folhas pequenas dificilmente se aplicam a folhas grandes. No entanto, podem ser escolhidas algumas equações que se mostraram razoavelmente apropriadas para todos os tipos de folha, como a { S = 0,2439 x (P + T)<sup>2,0898</sup>} que foi considerada inadequada para folhas pequenas apenas por ter obtidos valores 7,45% maior que os valores reais.

O pesquisador que desejar utilizar outra equação, pode escolher uma entre aquelas listadas na Tabela 1, de acordo com o tipo de folha que irá trabalhar e pela facilidade na obtenção das medidas foliares, podendo ainda escolher uma fórmula baseada em uma única medida, desde que haja tolerância a maiores desvios do valor real.



**Figura 1.** Medidas lineares obtidas nas folhas de mamoneira: comprimento, largura, nervura principal, nervuras diagonais e



Energia e Sustentabilidade 23 a 26 de novembro de 2004 - Campina Grande - PB

nervuras laterais. Campina Grande, PB, 2003

# Energia e Sustentabilidade

## I CONGRESSO BRASILEIRO DE MAMONA

# Energia e Sustentabilidade

23 a 26 de novembro de 2004 - Campina Grande - PB

**Tabela 1.** Avaliação de equações em três classes de folhas dividas por tamanho da área foliar. As células sombreadas correspondem às equações que se enquadraram nos critérios de avaliação previamente estabelecidos

| Equação                                  | Folhas pequenas |              |           | Folhas médias |              |           | Folhas grandes |               |           |
|--|-----------------|--------------|-----------|---------------|--------------|-----------|----------------|---------------|-----------|
|  | Correl.         | $\Delta$ (%) | CV<br>(%) | Correl.       | $\Delta$ (%) | CV<br>(%) | Correl.        | $\Delta$ (%)  | CV<br>(%) |
| S = 0,6119 x <b>C</b> x <b>L</b>         | 0,985           | 7,43         | 3,29      | 0,948         | 4,59         | 0,68      | 0,912          | -3,23         | 0,91      |
| $S = 0.7513 \times P \times L$           | 0,976           | 11,70        | 3,94      | 0,920         | 3,70         | 0,81      | 0,902          | -3,19         | 0,95      |
| $S = 1,4439 \times P \times T$           | 0,979           | 10,47        | 3,47      | 0,920         | 4,00         | 0,80      | 0,908          | -3,24         | 0,94      |
| $S = 1,0655 \times P^2$                  | 0,947           | 37,05        | 4,99      | 0,876         | 0,18         | 0,96      | 0,892          | -2,46         | 1,07      |
| $S = 0.1515 \times (C + L)^2$            | 0,984           | 9,37         | 3,31      | 0,947         | 0,48         | 0,69      | 0,907          | -3,33         | 0,93      |
| $S = 0.2736 \times (C + T)^2$            | 0,987           | 10,59        | 2,56      | 0,921         | 3,82         | 0,79      | 0,880          | -3,45         | 1,08      |
| $S = 0.1812 \times (L + P)^2$            | 0,977           | 13,26        | 3,94      | 0,918         | 4,18         | 0,83      | 0,889          | -3,52         | 1,02      |
| $S = 0.3526 \times (T + P)^2$            | 0,976           | 17,64        | 3,55      | 0,919         | 3,55         | 0,80      | 0,915          | -3,02         | 0,90      |
| $S = 0.1867 \times (P + D + T)^2$        | 0,980           | 51,90        | 5,95      | 0,923         | 7,26         | 0,85      | 0,927          | -4,40         | 0,87      |
| $S = 0.3032 \times C^{2,238}$            | 0,979           | -0,75        | 2,10      | 0,857         | -0,65        | 1,13      | 0,825          | 3,61          | 1,73      |
| $S = 2,9877 \times L^{1,5073}$           | 0,980           | 37,76        | 7,13      | 0,869         | 4,60         | 0,97      | 0,750          | -20,75        | 2,38      |
| $S = 0.2622 \times P^{2.4248}$           | 0,934           | -0,80        | 3,72      | 0,873         | -3,72        | 1,14      | 0,893          | 9,98          | 1,89      |
| $S = 0.0134 \times D^{3.7564}$           | 0,965           | -0,85        | 2,69      | 0,820         | -6,26        | 1,41      | 0,885          | 17,79         | 2,73      |
| $S = 7,0842 \times T^{1,5489}$           | 0,983           | 31,36        | 6,09      | 0,893         | 4,94         | 0,91      | 0,784          | -19,75        | 2,25      |
| $S = 0.2438 \times (C + L)^{1.8808}$     | 0,985           | 15,55        | 3,55      | 0,947         | 2,29         | 0,62      | 0,907          | -9,52         | 1,24      |
| $S = 0.2439 \times (P + T)^{2.0898}$     | 0,975           | 7,45         | 2,90      | 0,918         | 0,49         | 0,78      | 0,915          | -2,81         | 0,92      |
| $S = 0.2398 \times (L + P)^{1.9259}$     | 0,978           | 16,06        | 3,94      | 0,918         | 1,72         | 0,77      | 0,888          | -8,23         | 1,22      |
| $S = 0.0628 \times (P + D + T)^{2.2408}$ | 0,978           | 17,75        | 2,96      | 0,922         | -3,12        | 0,76      | 0,928          | -6,39         | 0,99      |
| $S = C^{1,782} + L^{1,5642}$             | 0,987           | 50,30        | 6,29      | 0,939         | 11,81        | 0,97      | 0,901          | -6,14         | 1,07      |
| $S = P^{1,9455} + L^{1,442}$             | 0,970           | 50,44        | 6,13      | 0,907         | 6,68         | 0,90      | 0,912          | -4,14         | 0,93      |
| $S = P^{1,8494} + T^{1,8793}$            | 0,975           | 27,56        | 3,75      | 0,918         | -2,92        | 0,77      | 0,916          | -13,26        | 1,49      |
| áa a; <b>C</b> m m                       | а               | a; a         | a a       | a;            | m m          | а         | v a            | a; <b>D</b> n | n a       |

#### **CONCLUSÕES**

a : **T** 

- Entre os modelos testados, a equação S = 0,2439 x (P + T)<sup>2,0898</sup> é a mais confiável e segura para cálculo da área foliar da mamoneira (S= área; P=comprimento da nervura principal; T=média do comprimento das nervuras laterais);
- As equações S = 0,3526 x (P + T)<sup>2</sup> e S = 0,1515 x (C + L)<sup>2</sup> também são bastante confiáveis e de cálculo mais simples (S= área; P=comprimento da nervura principal; T=média do comprimento das nervuras laterais; C= comprimento; L=largura);
- As equações baseadas em uma única medida foliar não são confiáveis para o cálculo da área foliar da mamoneira, mas algumas delas podem ser utilizadas em determinações pouco exigentes em precisão, ou na qual se queira rapidez e praticidade em detrimento à exatidão do resultado.

#### **REFERÊNCIAS**



# Energia e Sustentabilidade

23 a 26 de novembro de 2004 - Campina Grande - PB

ASHLEY, D.A.; DOSS, B.D.; BENETT, O.L. A method of determining leaf área in cotton. **Agronomy Journal,** v. 55, p. 584-585, 1963.

OGA, F.M.; FONSECA, C.E.L. Um método rápido para estimar área foliar em mudas de cagaiteira (*Eugenia dysenterica* D.C.). **Pesquisa Agropecuária Brasileira**, v. 29, n. 4, p. 571-577, abr. 1994.

SILVA, N.F.; FERREIRA, F.A.; FONTES, P.C.R.; CARDOSO, A.A. Modelos para estimar a área foliar de abóbora por meio de medidas lineares. **Revista Ceres** v. 45, n. 259, p. 287-291, 1998.

SILVA, L.C.; SANTOS, J.W.; VIEIRA, D.J.; BELTRÃO, N.E.M.; ALVES, J.; JERÔNIMO, J.F. Um método simples para se estimar área foliar de plantas de gergelim (Sesamum indicum). **Revista Brasileira de Oleaginosas e Fibrosas**. Campina Grande, PB. v. 6, n. 1, p. 491-496, jan-abr. 2002.

WENDT, C.W. Use of a relationship between leaf length and leaf área to estimate the leaf área of cotton (*Gossypium hirsutum* L.), castor (*Ricinus communis* L.) and sorghum (*Sorghum bicolor* L.). **Agronomy Journal**, v. 59, p. 484-486, set-out. 1967.